

Magnetismo

1 Campo magnético de um fio infinito

Vamos considerar um fio infinito, percorrido por uma corrente estacionária I , onde queremos encontrar o campo magnético a uma distância s do fio.

A Lei de Biot-Savart é descrita por

$$\vec{B}(\vec{r}) = \frac{\mu_0}{4\pi} \int \frac{\vec{I} \times \hat{r}}{r^2} dl' = \frac{\mu_0}{4\pi} I \int \frac{d\vec{l}' \times \hat{r}}{r^2}. \quad (1)$$

O ponto s é fixo, e l' será nossa variável de integração, que irá varrer toda a reta, indo de $-\infty$ até ∞ . A distância entre o elemento de integração e o ponto de análise é

$$r^2 = l'^2 + s^2. \quad (2)$$

$d\vec{l}' \times \hat{r}$, por sua vez, será, pela definição do produto vetorial,

$$d\vec{l}' \times \hat{r} = dl' \sin \alpha \hat{\phi}. \quad (3)$$

θ , por sua vez, é igual a $\alpha - \pi/2$. Logo,

$$\alpha = \theta + \frac{\pi}{2}. \quad (4)$$

O seno de α será então

$$\begin{aligned} \sin \alpha &= \sin \left(\theta + \frac{\pi}{2} \right) \\ &= \sin(\theta) \cancel{\cos\left(\frac{\pi}{2}\right)} + \cos(\theta) \sin\left(\frac{\pi}{2}\right) \\ &= \cos \theta. \end{aligned} \quad (5)$$

Logo, teremos que

$$d\vec{l}' \times \hat{r} = dl' \cos \theta \hat{\phi}. \quad (6)$$

O cosseno de θ , por sua vez, será

$$\cos \theta = \frac{s}{r}. \quad (7)$$

Então

$$d\vec{l}' \times \hat{r} = dl' \frac{s}{r} \hat{\phi}. \quad (8)$$

Nossa integral será então

$$\vec{B}(\vec{r}) = \frac{\mu_0}{4\pi} I \int \frac{dl' s \hat{\phi}}{(l'^2 + s^2)^{3/2}} \quad (9)$$

$$= \frac{\mu_0}{4\pi} I \int_{-L}^L \frac{dl' s \hat{\phi}}{(l'^2 + s^2)^{3/2}} \quad (10)$$

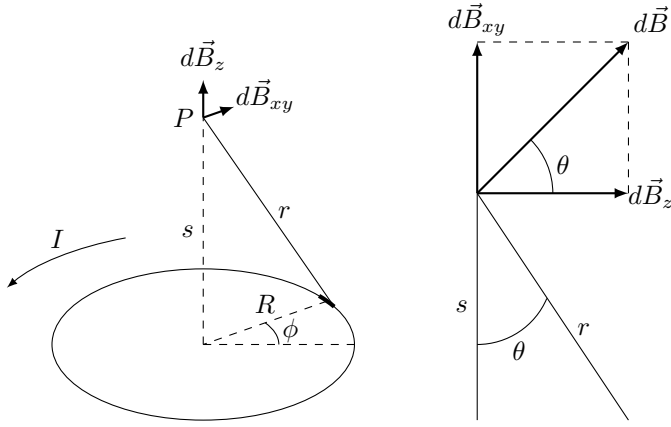
$$= \frac{\mu_0}{4\pi} I 2s \int_0^L \frac{dl'}{(l'^2 + s^2)^{3/2}} \hat{\phi} \quad (11)$$

$$= \frac{\mu_0}{2\pi} I s \left[\frac{l'}{s^2 \sqrt{l'^2 + s^2}} \right]_{l'=0}^{l'=L} \hat{\phi} \quad (12)$$

$$= \frac{\mu_0}{2\pi} I \frac{L}{s \sqrt{L^2 + s^2}} \hat{\phi}. \quad (13)$$

Não sei se isto está correto, mas creio que sim, pois no limite em que $L \rightarrow \infty$, recuperamos o resultado original.

2 Campo magnético acima do centro de um loop de corrente



Nossa discussão anterior sugere começarmos a calcular nosso campo pela componente z . Pois esperamos que

$$\vec{B}(P) = \vec{B}_z(P). \quad (15)$$

Avaliando os elementos infinitesimais:

$$d\vec{B}_z = d\vec{B} \sin \theta, \quad (16)$$

onde

$$\sin \theta = \frac{R}{r} = \frac{R}{\sqrt{s^2 + R^2}}. \quad (17)$$

A integral se reduz a (depois retorno aqui e explico melhor)

$$\vec{B} = \frac{\mu_0}{4\pi} I \int \frac{d\vec{l}' \times \hat{r}}{r^2} \quad (18)$$

$$= \frac{\mu_0}{4\pi} I \int \frac{d\vec{l}'}{r^2} \sin \theta \quad (19)$$

$$= \frac{\mu_0}{4\pi} I \int \frac{R d\vec{l}'}{r^3} \quad (20)$$

$$= \frac{\mu_0}{4\pi} I \frac{R 2\pi R}{(s^2 + R^2)^{3/2}} \quad (21)$$

$$= \frac{\mu_0 I}{2} \frac{R^2}{(s^2 + R^2)^{3/2}}. \quad (22)$$

Creio que esteja certo.

3 Campo magnético gerado por loops de corrente

Vamos calcular o campo magnético no centro de vários loops de corrente.

3.1 Loop quadrado, de lado $2R$

Como estamos no centro do loop, o campo total será quatro vezes aquele causado por um dos fios. Além disto, o campo estará na direção \hat{z} , pois pegará contribuições radiais dos 4 “fios”, dos 4 lados do loop. O campo de um fio finito já foi calculado, então esta tarefa é bem fácil.

O campo do fio, já calculado anteriormente, é

$$\vec{B} = \frac{\mu_0}{2\pi} \frac{I}{s} \frac{L}{\sqrt{L^2 + s^2}} \hat{\phi}. \quad (23)$$

Só que, neste caso, temos $s = R$ e $L = R$ (perceba que L é o meio comprimento de cada fio), além de 4 fios formando o loop. Logo,

$$\vec{B} = 4 \frac{\mu_0}{2\pi} \frac{I}{R} \frac{R}{\sqrt{R^2 + R^2}} \hat{z} \quad (24)$$

$$= 2 \frac{\mu_0}{\pi} I \frac{1}{R\sqrt{1+1}} \hat{z} \quad (25)$$

$$= \frac{2\mu_0}{\sqrt{2}\pi} \frac{I}{R} \hat{z} \quad (26)$$

No ponto em que vamos calcular o campo, haverá uma influência do campo no plano xy e em z para cada elemento infinitesimal do loop de corrente, devido à assimetria provocada por tomar um elemento de corrente fora do eixo z , enquanto o ponto de análise está diretamente acima do eixo z . Porém, ao integrarmos em todo o loop, a assimetria deve desaparecer, nos deixando somente a componente no eixo z .

A lei de Biot-Savart é

$$\vec{B}(\vec{r}) = \frac{\mu_0}{4\pi} \int \frac{\vec{I} \times \hat{r}}{r^2} dl' = \frac{\mu_0}{4\pi} I \int \frac{d\vec{l}' \times \hat{r}}{r^2}. \quad (14)$$

3.2 Polígono de n lados, com o centro a uma distância R de cada lado

A distância é R de cada lado. Sabemos que o ângulo de cada triângulo é $2\pi/n$. Logo, o lado de cada polígono (comprimento de cada fio) será

$$\tan \frac{\theta}{2} = \frac{L}{R}, \quad (27)$$

$$L = R \tan \left(\frac{\pi}{n} \right). \quad (28)$$

Assim,

$$\vec{B}_{\text{fio}} = \frac{\mu_0 I}{2\pi s} \frac{L}{\sqrt{L^2 + s^2}} \hat{\phi} \quad (29)$$

$$\vec{B} = n \cdot B_{\text{fio}} \hat{z} \quad (30)$$

$$= n \frac{\mu_0 I}{2\pi s} \frac{L}{\sqrt{L^2 + s^2}} \hat{z} \quad (31)$$

$$= n \frac{\mu_0 I}{2\pi R} \frac{R \tan \left(\frac{\pi}{n} \right)}{\sqrt{\left(R \tan \left(\frac{\pi}{n} \right) \right)^2 + R^2}} \hat{z} \quad (32)$$

$$= n \frac{\mu_0 I}{2\pi R} \frac{\tan \left(\frac{\pi}{n} \right)}{\sqrt{\tan^2 \left(\frac{\pi}{n} \right) + 1}} \hat{z} \quad (33)$$

$$= n \frac{\mu_0 I}{2\pi R} \frac{\tan \left(\frac{\pi}{n} \right)}{\sec \left(\frac{\pi}{n} \right)} \hat{z} \quad (34)$$

$$= n \frac{\mu_0 I}{2\pi R} \sin \left(\frac{\pi}{n} \right) \hat{z}. \quad (35)$$

Para $n = 4$, vemos que, de fato, recupera-se o resultado anterior:

$$\vec{B} = 4 \frac{\mu_0 I}{2\pi R} \sin \left(\frac{\pi}{4} \right) \hat{z} = \frac{2\mu_0 I}{\sqrt{2}\pi R} \hat{z}. \quad (36)$$

No limite em que $n \rightarrow \infty$,

$$\vec{B} = \lim_{n \rightarrow \infty} n \frac{\mu_0 I}{2\pi R} \sin \left(\frac{\pi}{n} \right) \hat{z} \quad (37)$$

$$= \lim_{u \rightarrow 0} \frac{\mu_0 I}{2\pi R} \frac{1}{u} \sin(\pi u) \hat{z} \quad (38)$$

$$= \lim_{u \rightarrow 0} \frac{\mu_0 I}{2\pi R} \pi \cos(\pi u) \hat{z} \quad (39)$$

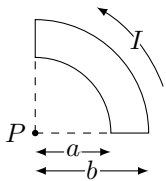
$$= \frac{\mu_0 I}{2R} \hat{z}, \quad (40)$$

$$(41)$$

que é justamente o campo obtido anteriormente, para o loop circular, com $s = 0$.

4 Outros loops com formato alternativo

4.1 Borda de pizza



Vamos aqui aplicar a lei de Biot-Savart para cada pedaço do loop em questão. Neste exemplo, teremos uma contribuição positiva da curva exterior, do “fio” que desce do fio de raio b até o fio de raio a , e então uma contribuição negativa da curva interior e do “fio” que vai do fim da curva de raio a até o começo da curva de raio b . Todas estas análises foram feitas utilizando a regra da mão direita.

Bom, na lei de Biot-Savart, teremos

$$\vec{B}(\vec{r}) = \frac{\mu_0}{4\pi} \int \frac{\vec{I} \times \hat{r}}{r^2} dl' = \frac{\mu_0}{4\pi} I \int \frac{d\vec{l}' \times \hat{r}}{r^2}. \quad (42)$$

Vamos dividir o problema em 4 partes:

Caminho da curva exterior:

$$\vec{B}(P) = \frac{\mu_0}{4\pi} I \int_0^{\pi b/2} \frac{dl'}{b^2} \hat{z} \quad (43)$$

$$= \frac{\mu_0}{4\pi} I \frac{\pi b}{2b^2} \hat{z} \quad (44)$$

$$= \frac{\mu_0 I}{8b} \hat{z}. \quad (45)$$

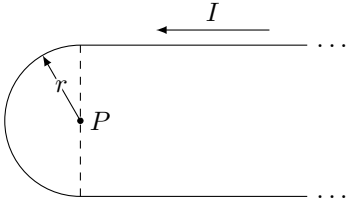
Para a curva interior, teremos quase a mesma coisa. A diferença será o sinal da contribuição do campo e o raio:

$$\vec{B}(P) = -\frac{\mu_0 I}{8a} \hat{z}. \quad (46)$$

Nos outros dois caminhos, a corrente é paralela ao vetor que liga o elemento de área ao ponto avaliado, então não teremos contribuição. Neste caso,

$$\vec{B}_{\text{tot}} = \vec{B}_1 + \vec{B}_2 = \frac{\mu_0 I}{8} \left(\frac{1}{b} - \frac{1}{a} \right) \hat{z} \quad (47)$$

4.2 Loop em forma de U infinito



Neste caso, iremos fazer a mesma coisa do problema anterior: considerar a lei de Biot-Savart por partes no fio. Perceba que aqui todas as componentes irão somar positivamente em \vec{B} .

Para a semi circunferência de corrente, teremos que, pela lei de Biot-Savart,

$$\vec{B}(P) = \frac{\mu_0}{4\pi} I \int \frac{d\vec{l}' \times \hat{r}}{r^2} \quad (48)$$

$$= \frac{\mu_0}{4\pi} I \int_0^{\pi R} \frac{dl'}{R^2} \hat{z} \quad (49)$$

$$= \frac{\mu_0 I}{4R} \hat{z}. \quad (50)$$

Por simetria, cada um dos outros fios dará a mesma contribuição para o campo no ponto. Aplicando a lei de Biot-Savart para um fio semi-finito (tá meio errado, mas vai funcionar):

$$\vec{B}_z(P) = \frac{\mu_0}{4\pi} I \int \frac{d\vec{l}' \times \hat{r}}{r^2} \quad (51)$$

$$= \frac{\mu_0}{4\pi} I \int_{-\infty}^0 \frac{dl' \sin \theta}{R^2 + l'^2} \hat{z} \quad (52)$$

$$= \frac{\mu_0}{4\pi} I \int_{-\infty}^0 \frac{dl' R}{(R^2 + l'^2)^{3/2}} \hat{z} \quad (53)$$

$$= \frac{\mu_0 I R}{4\pi} \int_{-\infty}^{R^2} \frac{l' dl'}{l'^3} \hat{z} \quad (54)$$

$$= \frac{\mu_0 I R}{4\pi} \left[-\frac{1}{l'} \right]_{-\infty}^{R^2} \hat{z} \quad (55)$$

$$= \frac{\mu_0 I}{4\pi R} \hat{z}. \quad (56)$$

Teremos 2 destas contribuições, logo, o resultado final será

$$\vec{B}_{\text{tot}}(P) = \frac{\mu_0 I}{4R} \hat{z} + 2 \frac{\mu_0 I}{4\pi R} \hat{z} = \frac{\mu_0 I}{4R} \left(1 + \frac{2}{\pi} \right) \hat{z}. \quad (57)$$

5 Campo provocado por um fio infinito

Vamos agora resolver um problema já conhecido, mas utilizando a lei de Ampère, a qual é escrita na sua forma integral como

$$\oint \vec{B} \cdot d\vec{l} = \mu_0 I_{\text{enc}}. \quad (58)$$

Num fio infinito, qualquer que seja o ponto analisado, o campo magnético estará circulando o fio. A superfície amperiana será então uma circunferência com centro no eixo do fio. A corrente enclausurada será também a corrente estacionária do loop. Logo,

$$\oint B dl = \mu_0 I \quad (59)$$

$$B 2\pi s = \mu_0 I \quad (60)$$

$$B = \frac{\mu_0 I}{2\pi s}. \quad (61)$$

Como sabemos a direção do \vec{B} ,

$$\vec{B} = \frac{\mu_0 I}{2\pi s} \hat{\phi}, \quad (62)$$

em coordenadas cilíndricas.

6 Campo magnético causado por um solenoide longo

Vamos considerar um solenoide longo, com n voltas por unidade de comprimento, de raio R e carregando uma corrente I . As n voltas estão muito próximas umas das outras, de maneira que cada volta será circular. Como o solenoide é longo, o campo magnético só pode existir em sua componente longitudinal, digamos, \hat{z} . Isto ocorre porque não há campo magnético na direção da corrente ($\hat{\phi}$) e também há a simetria radial. Existem outras explicações, talvez melhores, para isto, mas creio que esta baste.

A estratégia será utilizar uma curva amperiana retangular, com dois dos lados paralelos ao eixo longitudinal, e primeiramente do lado de fora do solenoide. A lei de Ampère diz que

$$\oint \vec{B} \cdot d\vec{l} = \mu_0 I_{\text{enc}}. \quad (63)$$

Como não temos campo na direção radial nem corrente enclausurada¹,

$$B(r = s_1)L - B(r = s_2)L = 0, \quad (64)$$

o que nos diz que

$$B(r = s_1) = B(r = s_2), \quad (65)$$

o que só é possível caso B seja zero fora do solenoide, pois não podemos esperar que uma distribuição do tipo cause um campo constante fora do solenoide. Sua magnitude deve no mínimo diminuir quando aumentamos a distância do ponto de análise (porém, vemos que um campo carregado eletricamente provoca um campo uniforme no espaço inteiro, *oh, the irony!*).

Vamos agora avaliar uma amperiana retangular, também com dois lados paralelos ao eixo longitudinal do solenoide, mas desta vez um destes lados estará dentro do cilindro e outro lado fora. Pela lei de Ampère:

$$\oint \vec{B} \cdot d\vec{l} = \mu_0 I_{\text{enc}} \quad (66)$$

$$\int_0^L B(r = s) dl - \int B(r = s' > R) dl = \mu_0 K L \quad (67)$$

$$B(r = s)L = \mu_0 K L. \quad (68)$$

Logo, para pontos dentro do solenoide, teremos que

$$\vec{B} = \mu_0 n I \hat{z}, \quad (69)$$

independente de qual seja o valor do raio.

7 Campo magnético de uma bobina toroidal

Vamos considerar (estou usando demais esta expressão, mas, quer saber? **f o d a s e**) um toroide de secção transversal quadrada, onde nele há um fio enrolado com N voltas, carregando uma corrente I .

Neste caso, teremos um campo angular, pois cada volta da bobina irá produzir um campo magnético normal à superfície delimitada pela volta. A curva amperiana em questão será então uma circunferência concêntrica com a bobina, a uma determinada altura. O campo será constante em ϕ pela simetria azimutal.

¹Lembre-se de que o campo só pode variar radialmente, pois é a única direção em que a simetria é quebrada.

A lei de Ampère fica como

$$\oint \vec{B} \cdot d\vec{l} = \mu_0 I_{\text{enc}} \quad (70)$$

$$B_\phi 2\pi s = \mu_0 NI \quad (71)$$

$$\vec{B}_\phi = \frac{\mu_0 NI}{2\pi s} \hat{\phi}. \quad (72)$$

Perceba que, independente da altura onde é posta a amperiana, a corrente que irá cruzar a superfície será a mesma. \vec{B}_ϕ não depende então da altura em que estamos, basta estar dentro do loop. Caso um loop de raio maior do que o toroide seja considerado, a corrente líquida será zero na lei de Ampère, fazendo com que não haja campo magnético angular nesta região.

Bom, para determinar completamente o campo, basta provar que o mesmo só tem componente radial. Infelizmente não vou fazer isso agora. Talvez depois.

8 Potencial vetor de uma casca esférica rotacionando

Uma casca esférica de raio R , carregando uma densidade superficial de cargas σ está rotacionando com uma velocidade angular ω . Encontrar o potencial vetor.

O potencial vetor é dado por

$$\vec{A} = \frac{\mu_0}{4\pi} \int \frac{\vec{K}}{r} da' \quad (73)$$

A corrente superficial irá surgir devido ao movimento da densidade de cargas ao rotacionar. Iremos considerar que o eixo de rotação é o eixo \hat{z} , e o ponto de análise estará em uma posição arbitrária, fora da esfera, \vec{r} . A definição de corrente superficial, creio eu, é

$$\vec{K} \equiv \sigma \vec{v}, \quad (74)$$

onde \vec{v} é a velocidade da linha de corrente. A velocidade de cada ponto terá como módulo sua distância do eixo de rotação multiplicado por ω , e como direção terá a componente angular $\hat{\phi}$ em coordenadas cilíndricas. Isto é justamente o produto vetorial entre ω e \vec{r}' :

$$\vec{v} = \vec{\omega} \times \vec{r}'. \quad (75)$$

Em coordenadas esféricas, teremos

$$v = \omega r' \sin \theta, \quad (76)$$

logo,

$$K = \sigma \omega r' \sin \theta'. \quad (77)$$

Iremos omitir as direções aqui, pois já sabemos que no final \vec{A} terá a mesma direção que $\hat{\phi}$ (direção da corrente). Bom, voltando à integral:

$$A = \frac{\mu_0}{4\pi} \int \frac{K}{r} da' \quad (78)$$

$$= \frac{\mu_0}{4\pi} \int \frac{\sigma \omega r' \sin \theta'}{r} da'. \quad (79)$$

r , por sua vez, será a distância entre o elemento de integração e nosso ponto arbitrário no espaço. A este ponto, daremos uma posição r, ϕ, θ . Iremos considerar, sem perda de generalidade, $\phi = 0$. A simetria esférica fará com que esta seja uma decisão equivalente a tomar qualquer valor de ϕ . Logo, precisamos somente nos preocupar com as distâncias a seguir:

$$(x - x') = r \sin \theta \cos \phi - r' \sin \theta' \cos \phi' \quad (80)$$

$$(y - y') = r \sin \theta \sin \phi - r' \sin \theta' \sin \phi' \quad (81)$$

$$(z - z') = r \cos \theta - r' \cos \theta'. \quad (82)$$

Em nosso caso,

$$(x - x')^2 + (y - y')^2 + (z - z')^2 = r^2 + r'^2 - 2rr' \cos \alpha \quad (83)$$

Pela lei dos cossenos,

$$r^2 = r'^2 + r^2 - 2rr' \cos \alpha, \quad (84)$$

onde α é o ângulo entre os dois vetores.

ESQUEÇA ESTA PORRA

Melhor considerar o ponto em questão em cima do eixo \hat{z} , de maneira que o ângulo entre o ponto que observamos \vec{A} e o elemento de integração em \vec{r}' será o próprio θ' .

O potencial vetor é dado por

$$\vec{A} = \frac{\mu_0}{4\pi} \int \frac{\vec{K}}{r} da'. \quad (85)$$

A corrente superficial irá surgir devido ao movimento da densidade de cargas ao rotacionar. A definição de corrente superficial, creio eu, é

$$\vec{K} \equiv \sigma \vec{v}, \quad (86)$$

onde \vec{v} é a velocidade da linha de corrente. A velocidade de cada ponto terá como módulo sua distância do eixo de rotação multiplicado por ω , e como direção terá a componente angular $\hat{\phi}$ em coordenadas cilíndricas. Isto é justamente o produto vetorial entre ω e \vec{r}' :

$$\vec{v} = \vec{\omega} \times \vec{r}'. \quad (87)$$

Escolhemos isto pois, aparentemente, calcular o produto vetorial é menos complicado que descobrir qual é o ângulo entre os dois vetores. Bom, o produto vetorial será

$$\begin{aligned} \vec{v} &= \begin{vmatrix} \hat{x} & \hat{y} & \hat{z} \\ \omega_x & \omega_y & \omega_z \\ x' & y' & z' \end{vmatrix} = \begin{vmatrix} \hat{x} & \hat{y} & \hat{z} \\ \omega \sin \psi & 0 & \omega \cos \psi \\ r' \sin \theta' \cos \phi' & r' \sin \theta' \sin \phi' & r' \cos \theta' \end{vmatrix} \\ &= R\omega [-\cos \psi \sin \theta' \sin \phi' \hat{x} + (\cos \psi \sin \theta' \cos \phi' - \sin \psi \cos \theta') \hat{y} + \sin \psi \sin \theta' \sin \phi' \hat{z}], \end{aligned} \quad (88)$$

pois todos elementos de integração estarão na superfície ($r' = R$).

Bom, a distância entre o ponto considerado e o elemento de integração será simplesmente a lei dos cossenos:

$$r = \sqrt{R^2 + r^2 - 2rR \cos \theta'}. \quad (89)$$

Como a integral será proporcional à velocidade em cada componente, e o denominador não tem nenhum termo em ϕ' , vamos avaliar como ficará a integral de \vec{v} em ϕ' :

$$\int_0^{2\pi} \vec{v} d\phi' = \int_0^{2\pi} R\omega [-\cos \psi \sin \theta' \sin \phi' \hat{x} + (\cos \psi \sin \theta' \cos \phi' - \sin \psi \cos \theta') \hat{y} + \sin \psi \sin \theta' \sin \phi' \hat{z}] d\phi' \quad (90)$$

$$\begin{aligned} &= R\omega \left[-\cos \psi \sin \theta' \int_0^{2\pi} \sin \phi' d\phi' \hat{x} + \left(\cos \psi \sin \theta' \int_0^{2\pi} \cos \phi' d\phi' - \sin \psi \cos \theta' \int_0^{2\pi} d\phi' \right) \hat{y} + \right. \\ &\quad \left. + \sin \psi \sin \theta' \int_0^{2\pi} \sin \phi' d\phi' \hat{z} \right]. \end{aligned} \quad (91)$$

Lembre-se de que as integrais em seno e cosseno em um período completo são zero. Logo, teremos

$$\int_0^{2\pi} \vec{v} d\phi' = 2\pi \sin \psi \cos \theta' \hat{y}. \quad (92)$$

Voltando para a integral original:

$$\vec{A} = \frac{\mu_0 \sigma}{4\pi} \int \frac{\vec{v}}{\sqrt{R^2 + r^2 - 2rR \cos \theta'}} da' \quad (93)$$

$$= -\frac{\mu_0 \sigma 2\pi \sin \psi}{4\pi} \int_0^\pi \frac{\cos \theta'}{\sqrt{R^2 + r^2 - 2rR \cos \theta'}} R^2 \sin \theta' d\theta' \quad (94)$$

$$= -\frac{\mu_0 \sigma \sin \psi R^2}{2} \int_0^\pi \frac{\cos \theta' \sin \theta' d\theta'}{\sqrt{R^2 + r^2 - 2rR \cos \theta'}}. \quad (95)$$

Fazendo a mesma substituição do Griffiths ($u = \cos \theta'$):

$$\vec{A} = \frac{\mu_0 \sigma \sin \psi R^2}{2} \int_{-1}^1 \frac{u du}{\sqrt{R^2 + r^2 - 2rRu}}. \quad (96)$$

Outra substituição, $w = R^2 + r^2 - 2rRu$, $dw = -2rR du \rightarrow du = -dw/2rR$, nos dará a resposta direta. Não vou calcular aqui, pois isto é um saco. Enfim,

$$x \quad (97)$$

9 Potencial vetor do solenoide infinito explorado anteriormente

Para resolver esta questão, é necessário um truque que relaciona a lei de Ampère com o potencial vetor:

$$\oint \vec{A} \cdot d\vec{l} = \int (\nabla \times \vec{A}) \cdot d\vec{a}, \text{ (teorema de Gauss)} \quad (98)$$

$$= \int \vec{B} \cdot d\vec{a} \quad (99)$$

$$= \Phi_M, \quad (100)$$

onde Φ_M é o fluxo magnético através da superfície considerada.

Ora, percebemos que a expressão tem uma forma semelhante à lei de Ampère, só que teremos agora o fluxo magnético ao invés da corrente enclausurada. Bom, sabemos que o potencial vetor terá a mesma direção da corrente, então iremos considerar uma curva amperiana centrada no eixo \hat{z} , e de raio s . Se s for maior que R ,

$$A2\pi s = \Phi_M. \quad (101)$$

O campo magnético dentro do solenoide é constante, e vale

$$\vec{B} = \mu_0 n I \hat{z}, \quad (102)$$

logo, o fluxo será

$$\Phi_M = B \cdot A = (\mu_0 n I)(\pi s^2). \quad (103)$$

Assim,

$$A2\pi s = \mu_0 n I \pi s^2 \quad (104)$$

$$\vec{A} = \frac{\mu_0 n I}{2} s \hat{\phi}. \quad (105)$$

Fora do cilindro, $\vec{B} = 0$, logo,

$$\vec{A}2\pi s = \mu_0 n I \pi R^2 \hat{\phi} \quad (106)$$

$$= \mu_0 n I \frac{R^2}{s} \hat{\phi}. \quad (107)$$

10 Corrente provocada por dois solenoides longos

Vamos considerar dois solenoides longos e coaxiais, cada um percorrido por corrente em uma direção. Bom, a corrente é angular, então os campos magnéticos serão na direção \hat{z} , cada um em uma direção (positivo e negativo). Vamos considerar o loop exterior causando um campo em \hat{z} positivo.

Fora dos dois solenoides, o campo será nulo, pois só existe campo magnético dentro dos solenoides. Entre o primeiro e o segundo solenoide, teremos o campo do solenoide exterior, que será

$$\vec{B} = \mu_0 n_1 I \hat{z}. \quad (108)$$

Caso adentremos os dois solenoides, teremos uma superposição dos campos magnéticos

$$\vec{B} = \mu_0 I (n_1 - n_2) \hat{z}. \quad (109)$$

11 Momento de dipolo magnético

Vamos calcular o momento de dipolo magnético de uma geometria de correntes demonstrado na figura a seguir:

O momento de dipolo magnético é definido como

$$\vec{m} \equiv I \int d\vec{a} = I \vec{a}. \quad (110)$$

Vamos separar agora os dois loops, o do plano xz é

$$\vec{m}_1 = I\omega^2 \hat{y}, \quad (111)$$

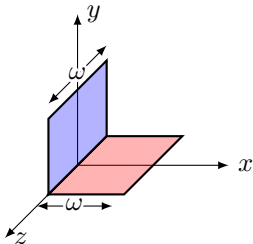
e no plano xy é

$$\vec{m}_2 = I\omega^2 \hat{z}. \quad (112)$$

A soma total do momento magnético será então

$$\vec{m} = \vec{m}_1 + \vec{m}_2 = I\omega^2 (\hat{y} + \hat{z}). \quad (113)$$

Muito fácil, não é? Tem nem graça.



12 Campo magnético de um plano infinito

Vamos considerar um plano infinito percorrido por uma densidade superficial de corrente uniforme em uma direção $\vec{K} = K\hat{x}$. Pela regra da mão direita, o campo deve estar na direção $-\hat{y}$ acima do plano e \hat{y} abaixo do plano. A lei de Ampère nos diz que

$$\oint \vec{B} \cdot d\vec{l} = \mu_0 I_{\text{enc}}. \quad (114)$$

Pela simetria do problema, nossa curva amperiana será um retângulo, onde a densidade de corrente irá cruzar perpendicularmente o retângulo. Assim,

$$B(d)L - B(-d)L = \mu_0 KL \quad (115)$$

$$B(d)L + B(d)L = \mu_0 KL \quad (116)$$

$$B(d) = \frac{\mu_0 K}{2}. \quad (117)$$

Utilizando a lei de Ampère para o potencial vetor:

$$\oint \vec{A} \cdot d\vec{l} = \Phi_M \quad (118)$$

$$AL = BLd \quad (119)$$

$$A = Bd \quad (120)$$

$$\vec{A} = \frac{\mu_0 K}{2} z\hat{x}. \quad (121)$$

Calculando o rotacional de \vec{A} para ver se obtivemos o campo realmente:

$$\nabla \times \vec{A} = \frac{\partial A_x}{\partial z} \hat{y} = \frac{\mu_0 K}{2} \hat{y} = \vec{B}, \quad (122)$$

confirmando nossa expectativa.

13 Campo elétrico e magnético dentro de um solenoide infinito percorrido por corrente

Vamos considerar um solenoide infinito, com n voltas, percorrido centralmente por uma corrente não estacionária do tipo $I = I_0 \sin \omega t$. Sabendo da equação de Maxwell

$$\nabla \times \vec{E} + \frac{\partial \vec{B}}{\partial t} = 0 \quad (123)$$

14 Potencial vetor do fio percorrido por corrente

Teremos que, pela lei de Ampère, fora do foi:

$$\oint \vec{B} \cdot d\vec{l} = \mu_0 I_{\text{enc}} \quad (124)$$

$$B2\pi s = \mu_0 J\pi R^2 \quad (125)$$

$$B = \frac{\mu_0 JR^2}{2s}. \quad (126)$$

Já que \vec{B} está na direção $\hat{\phi}$, \vec{A} deve estar na direção \hat{z} . Nossa curva amperiana será um retângulo de dois lados paralelos ao eixo \hat{z} :

$$\oint \vec{A} \cdot d\vec{l} = \Phi_M \quad (127)$$

$$A(d_1)L - A(d_2)L = L \frac{\mu_0 JR^2}{2} \int_{d_1}^{d_2} \frac{ds}{s} \quad (128)$$

$$A(d_1) - A(d_2) = \frac{\mu_0 JR^2}{2} \ln \left(\frac{d_1}{d_2} \right). \quad (129)$$

Dentro do fio:

$$B = \frac{\mu_0 Js}{2} \quad (130)$$

$$(131)$$

15 Primeira questão do Jackson

Começando da expressão

$$d\vec{B} = \frac{\mu_0 J}{4\pi} dl' \times \frac{\vec{x} - \vec{x}'}{|\vec{x} - \vec{x}'|^3}, \quad (132)$$

para a indução magnética no ponto P com coordenadas \vec{x} , produzido por um incremento de corrente $I dl'$ em \vec{x}' , vamos mostrar explicitamente que para um loop fechado carregando uma corrente I a indução magnética em P é

$$\vec{B} = \frac{\mu_0 I}{4\pi} \nabla \Omega, \quad (133)$$

onde Ω é o ângulo sólido subentendido pelo loop no ponto P . Isto corresponde a um potencial escalar magnético de $\Phi_M = -\mu_0 I \Omega / 4\pi$. A convenção de sinal para o ângulo sólido é tal que Ω é positivo se o ponto P vê o lado “interior” da superfície expandindo o loop, isto é